

К ВОПРОСУ О КОЛЕБАНИЯХ
ЭЛЕКТРОПРОВОДЯЩЕЙ ПЛАСТИНКИ
В ПОПЕРЕЧНОМ МАГНИТНОМ ПОЛЕ

С. А. АМБАРИЦУМЯН

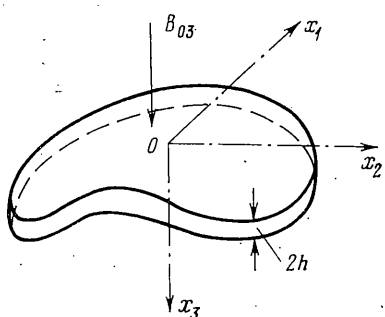
(Ереван)

Рассматривается задача колебаний упругой пластинки в поперечном магнитном поле постоянной интенсивности с учетом поперечных сдвиговых деформаций и соответствующих взаимодействий.

1. Пусть тонкая упругая пластинка постоянной толщины $2h$ с конечной электропроводностью σ колеблется во внешнем магнитном поле с постоянным вектором напряженности $\mathbf{H}_0(0, 0, H_{03})$, нормальным к срединной плоскости пластинки.

Пластинка в декартовой системе координат x_i расположена так, что срединная плоскость совпадает с координатной плоскостью x_1x_2 (фиг. 1).

Считается, что задача магнитостатики для невозмущенного состояния решена. Известны векторы магнитной индукции для внешней $\mathbf{B}_0^{(e)}$ и внутренней (для тела пластинки) \mathbf{B}_0 областей, которые удовлетворяют следующим уравнениям электростатики и условиям на поверхности контакта двух областей [1]:



Фиг. 1

$$\text{rot } \mathbf{H}_0 = 0, \quad \text{div } \mathbf{B}_0 = 0, \quad \mathbf{E}_0 = 0$$

$$\text{rot } \mathbf{H}_0^{(e)} = 0, \quad \text{div } \mathbf{B}_0^{(e)} = 0, \quad \mathbf{E}_0^{(e)} = 0$$

$$[\mathbf{B}_0^{(e)} - \mathbf{B}_0] \cdot \mathbf{n}_0 = 0, \quad [\mathbf{H}_0^{(e)} - \mathbf{H}_0] \times \mathbf{n}_0 = 0$$

где $\mathbf{H}_0^{(e)} = \mathbf{B}_0^{(e)}$ и $\mathbf{H}_0 = \mathbf{B}_0$ — векторы напряженности начального магнитного поля соответственно для внешней и внутренней областей, \mathbf{n}_0 — вектор нормали к поверхности контакта двух областей в начальном невозмущенном состоянии. Здесь и в дальнейшем принимается, что диэлектрические

постоянны $\epsilon, \epsilon^{(e)}$ и коэффициенты магнитной проницаемости $\mu, \mu^{(e)}$ как во внешней области (вакуум), так и в теле пластинки равны единице.

Будем пользоваться линеаризованными уравнениями магнитоупругости [2].

Во внутренней области уравнения электродинамики имеют вид

$$\text{rot } \mathbf{h} = \frac{4\pi\sigma}{c} \left(\mathbf{e} + \frac{1}{c} \frac{\partial \mathbf{u}}{\partial t} \times \mathbf{B}_0 \right), \quad \text{div } \mathbf{e} = 4\pi\rho_e \quad (1.1)$$

$$\text{rot } \mathbf{e} = -\frac{1}{c} \frac{\partial \mathbf{h}}{\partial t}, \quad \text{div } \mathbf{h} = 0$$

где $\mathbf{h}(h_1, h_2, h_3)$, $\mathbf{e}(e_1, e_2, e_3)$ — компоненты индуцированного электромагнитного поля, которые настолько малы, что позволяют линеаризацию уравнений электродинамики, c — электродинамическая постоянная, численно равная скорости света в пустоте, ρ_e — объемная плотность электрического заряда, \mathbf{u} — вектор перемещения.

Уравнения движения примем в форме

$$\frac{\partial \sigma_{ik}}{\partial x_k} + X_i = \rho \frac{\partial^2 u_i}{\partial t^2} \quad (i, k = 1, 2, 3) \quad (1.2)$$

$$\rho K(X_1, X_2, X_3) = \frac{\sigma}{c} \left(\mathbf{e} + \frac{1}{c} \frac{\partial \mathbf{u}}{\partial t} \times \mathbf{B}_0 \right) \times \mathbf{B}_0 \quad (1.3)$$

Геометрические и физические соотношения представим так

$$\varepsilon_{ik} = \frac{1}{2} \left(\frac{\partial u_i}{\partial x_k} + \frac{\partial u_k}{\partial x_i} \right) \quad (i, k = 1, 2, 3) \quad (1.4)$$

$$\sigma_{ii} = \frac{E}{1+\nu} \left(\varepsilon_{ii} + \frac{\nu}{1-2\nu} e \right), \quad \sigma_i = G \varepsilon_{ik} \quad (1.5)$$

$$e = \varepsilon_{11} + \varepsilon_{22} + \varepsilon_{33}$$

где σ_{ik} — компоненты напряжения, ε_{ik} — компоненты деформации, u_i — компоненты перемещения, E — модуль упругости, $G = E/2(1+\nu)$ — модуль сдвига (в случае трансверсально изотропной пластинки модуль сдвига может иметь и иное значение — G'), ν — коэффициент Пуассона.

Во внешней области (вакуум) уравнение электродинамики

$$\text{rot } \mathbf{h}^{(e)} = \frac{1}{c} \frac{\partial \mathbf{e}^{(e)}}{\partial t}, \quad \text{div } \mathbf{h}^{(e)} = 0$$

$$\text{rot } \mathbf{e}^{(e)} = - \frac{1}{c} \frac{\partial \mathbf{h}^{(e)}}{\partial t}, \quad \text{div } \mathbf{e}^{(e)} = 0$$

К приведенным уравнениям присоединим условия на поверхностях пластинки ($x_3 = \pm h$):

$$h_i = h_i^{(e)}, \quad e_1 = e_1^{(e)}, \quad e_2 = e_2^{(e)}$$

а также граничные условия на торцах пластинки и условия на бесконечности.

2. Исходными гипотезами, на основании которых строится предлагаемая теория, являются:

часть гипотезы магнитоупругости тонких тел [2], согласно которой, приближенно полагается, что

$$e_1 = \varphi(x_1, x_2, t), \quad e_2 = \psi(x_1, x_2, t), \quad h_3 = f(x_1, x_2, t) \quad (2.1)$$

гипотеза уточненной теории изгиба пластинки [3], согласно которой

$$u_1 = u - x_3 \frac{\partial w}{\partial x_1} + \frac{J_0}{G'} \Phi(x_1, x_2, t) \quad (2.2)$$

$$u_2 = v - x_3 \frac{\partial w}{\partial x_2} + \frac{J_0}{G'} \Psi(x_1, x_2, t)$$

$$u_3 = w(x_1, x_2, t)$$

где φ, ψ, f — искомые компоненты возбуждаемого электромагнитного поля; $w, u(x_1, x_2, t)$, $v(x_1, x_2, t)$ — искомые перемещения срединной плоскости пластинки; Φ, Ψ — искомые функции, характеризующие поперечные сдвиговые деформации пластинки; J_0 — заданная функция x_3 , характеризующая изменения сдвиговых величин по толщине пластинки. В частности, для J_0 здесь принимаем [3]:

$$J_0 = \frac{1}{2}x_3(h^2 - \frac{1}{2}x_3^2)$$

В силу (2.1) и (2.2) из (1.4) получим

$$\begin{aligned} \frac{\partial h_1}{\partial x_3} &= \frac{\partial f}{\partial x_1} + \frac{4\pi\sigma}{c} \left[\Psi - \frac{1}{c} \left(B_{03} \frac{\partial u}{\partial t} - x_3 B_{03} \frac{\partial^2 w}{\partial x_1 \partial t} + \frac{J_0 B_{03}}{G'} \frac{\partial \Phi}{\partial t} \right) \right] \\ \frac{\partial h_2}{\partial x_3} &= \frac{\partial f}{\partial x_2} - \frac{4\pi\sigma}{c} \left[\Phi + \frac{1}{c} \left(B_{03} \frac{\partial v}{\partial t} - x_3 B_{03} \frac{\partial^2 w}{\partial x_2 \partial t} + \frac{J_0 B_{03}}{G'} \frac{\partial \Psi}{\partial t} \right) \right] \\ \frac{4\pi\sigma}{c} e_3 &= \frac{\partial h_2}{\partial x_1} - \frac{\partial h_1}{\partial x_2}, \quad \frac{\partial \Psi}{\partial x_1} - \frac{\partial \Phi}{\partial x_2} + \frac{1}{c} \frac{\partial f}{\partial t} = 0 \end{aligned} \quad (2.3)$$

Рассматривая уравнения (2.3), замечаем, что в первых двух уравнениях появляются члены, представляющие взаимодействия нового типа между магнитным полем и деформациями. Эти члены, в отличие от обычных представлений взаимодействия, упругие характеристики пластинки (модуль поперечного сдвига G') содержат в явном виде.

Полагая $G' = \infty$, т. е. оставаясь на уровне гипотезы недеформируемых нормалей, очевидно, мы не могли бы обнаружить взаимодействия нового типа [3], которые, как будет показано ниже, вносят существенные изменения в характер магнитоупругих колебаний электропроводных пластин в магнитном поле.

Интегрируя первые два уравнения (2.4) по x_3 в пределах от нуля до x_3 , с учетом поверхностных условий

$$h_i = h_i^+ \text{ при } x_3 = h \text{ и } h_i = h_i^- \text{ при } x_3 = -h \quad (2.4)$$

для h_i получим

$$\begin{aligned} h_1 &= \frac{h_1^+ + h_1^-}{2} + x_3 \left(\frac{\partial f}{\partial x_1} + \frac{4\pi\sigma}{c} \Psi \right) - \\ &\quad - \frac{4\pi\sigma}{c^2} \left(b_1 \frac{\partial u}{\partial t} - b_2 \frac{\partial^2 w}{\partial x_1 \partial t} + \frac{b_3}{G'} \frac{\partial \Phi}{\partial t} \right) \\ h_2 &= \frac{h_2^+ + h_2^-}{2} + x_3 \left(\frac{\partial f}{\partial x_2} - \frac{4\pi\sigma}{c} \Phi \right) - \\ &\quad - \frac{4\pi\sigma}{c^2} \left(b_1 \frac{\partial v}{\partial t} - b_2 \frac{\partial^2 w}{\partial x_2 \partial t} + \frac{b_3}{G'} \frac{\partial \Psi}{\partial t} \right) \\ b_1 &= B_{03} x_3, \quad b_2 = B_{03} \frac{1}{2} (x_3^2 - h^2) \\ b_3 &= \left[\frac{x_3^2}{4} \left(h^2 - \frac{x_3^2}{6} \right) - \frac{5h^4}{24} \right] B_{03} \end{aligned} \quad (2.5)$$

Наконец, из третьего уравнения (2.4), согласно (2.6), для третьей компоненты возбужденного электрического поля получим

$$\begin{aligned} e_3 &= -x_3 \left(\frac{\partial \Phi}{\partial x_1} + \frac{\partial \Psi}{\partial x_2} \right) + \frac{1}{c} \frac{\partial}{\partial t} \left[b_1 \left(\frac{\partial u}{\partial x_2} - \frac{\partial v}{\partial x_1} \right) + \right. \\ &\quad \left. + \frac{b_3}{G'} \left(\frac{\partial \Phi}{\partial x_2} - \frac{\partial \Psi}{\partial x_1} \right) \right] + \frac{1}{2} \left[\frac{\partial}{\partial x_1} (h_2^+ + h_2^-) - \frac{\partial}{\partial x_2} (h_1^+ + h_1^-) \right] \end{aligned} \quad (2.6)$$

Таким образом, принимая гипотезу магнитоупругости [2] и гипотезы уточненной теории пластинок [3], все компоненты возбуждаемого в пластинке электромагнитного поля с помощью формул (2.1), (2.5) и (2.6) представляются восемью искомыми функциями $u, v, w, \Phi, \Psi, \varphi, \psi, f$ и значениями компонент индуцированного магнитного поля h_1 и h_2 на поверхностях пластинки. При этом важно отметить, что все искомые величины — функции двух координат x_1, x_2 и времени t , т. е. по существу трехмерная внутренняя задача магнитоупругости тонкой пластинки сведена к двумерной.

3. Из (1.5), согласно (1.4) и (2.2), для напряжений в пластинке получим известные представления уточненной теории [3]:

$$\begin{aligned}\sigma_{11} &= \frac{E}{1-\nu^2} \left[\frac{\partial u}{\partial x_1} + \nu \frac{\partial v}{\partial x_2} - x_3 \left(\frac{\partial^2 w}{\partial x_1^2} + \nu \frac{\partial^2 w}{\partial x_2^2} \right) + \frac{J_0}{G'} \left(\frac{\partial \Phi}{\partial x_1} + \nu \frac{\partial \Psi}{\partial x_2} \right) \right] \\ \sigma_{22} &= \frac{E}{1-\nu^2} \left[\frac{\partial v}{\partial x_2} + \nu \frac{\partial u}{\partial x_1} - x_3 \left(\frac{\partial^2 w}{\partial x_2^2} + \nu \frac{\partial^2 w}{\partial x_1^2} \right) + \frac{J_0}{G'} \left(\frac{\partial \Psi}{\partial x_2} + \nu \frac{\partial \Phi}{\partial x_1} \right) \right] \\ \sigma_{12} &= \frac{E}{2(1+\nu)} \left[\frac{\partial u}{\partial x_2} + \frac{\partial v}{\partial x_1} - 2x_3 \frac{\partial^2 w}{\partial x_1 \partial x_2} + \frac{J_0}{G'} \left(\frac{\partial \Phi}{\partial x_2} + \frac{\partial \Psi}{\partial x_1} \right) \right] \\ \sigma_{13} &= f_0(x) \Phi, \quad \sigma_{23} = f_0(x_3) \Psi, \quad f_0(x_3) = \frac{1}{2}(h^2 - x_3^2)\end{aligned}\quad (3.2)$$

Отсюда очевидно, что на плоскостях $x_3 = \pm h$ напряжения σ_{13}, σ_{23} равны нулю, а по толщине пластинки изменяются по параболическому закону.

Согласно (2.2), из (1.3) для компонент «грузового» члена получим

$$\begin{aligned}\rho K_1 &= \frac{\sigma}{c} \left[\psi B_{03} - \frac{1}{c} \left(\frac{\partial u}{\partial t} - x_3 \frac{\partial^2 w}{\partial x_1 \partial t} + \frac{J_0}{G'} \frac{\partial \Phi}{\partial t} \right) B_{03}^2 \right] \\ \rho K_2 &= \frac{\sigma}{c} \left[-\varphi B_{03} - \frac{1}{c} \left(\frac{\partial v}{\partial t} - x_3 \frac{\partial^2 w}{\partial x_2 \partial t} + \frac{J_0}{G'} \frac{\partial \Psi}{\partial t} \right) B_{03}^2 \right] \\ \rho K_3 &= 0\end{aligned}\quad (3.3)$$

Как и следовало ожидать, и здесь имеются члены (последние члены в первых двух формулах (3.3)), представляющие взаимодействия нового типа.

Рассматривая (3.1)–(3.3), замечаем, что как все компоненты напряжения в пластинке, так и «грузовые» члены, описывающие взаимодействия магнитного поля с пластинкой, записаны с помощью искомых величин, которые являются функциями лишь двух координат (x_1, x_2) и времени t . Это значит, что в последующем можно пользоваться уравнениями движения пластинки, приведенными к срединной плоскости.

Проинтегрировав каждое из уравнений равновесия (1.2) по x_3 в пределах от $x_3 = -h$ до $x_3 = h$ и далее умножив первые два уравнения системы (1.2) на x_3 и проинтегрировав результат по x_3 в тех же пределах, согласно (3.3), получим следующие пять осредненных по толщине уравнений движения пластинки:

$$\begin{aligned}\frac{\partial T_1}{\partial x_1} + \frac{\partial S}{\partial x_2} + 2h \frac{\sigma}{c} \left(\psi B_{03} - \frac{1}{c} \frac{\partial u}{\partial t} B_{03}^2 \right) &= 2\rho h \frac{\partial^2 u}{\partial t^2} \\ \frac{\partial T_2}{\partial x_2} + \frac{\partial S}{\partial x_1} - 2h \frac{\sigma}{c} \left(\varphi B_{03} + \frac{1}{c} \frac{\partial v}{\partial t} B_{03}^2 \right) &= 2\rho h \frac{\partial^2 v}{\partial t^2} \\ \frac{\partial N_1}{\partial x_1} + \frac{\partial N_2}{\partial x_2} &= 2\rho h \frac{\partial^2 w}{\partial t^2}\end{aligned}$$

$$\begin{aligned} \frac{\partial M_1}{\partial x_1} + \frac{\partial H}{\partial x_2} - N_1 + \frac{\sigma}{c} \left[\frac{2}{3} \frac{h^3}{c} \frac{\partial^2 w}{\partial x_1 \partial t} B_{03}^2 - \frac{4}{15} \frac{h^5}{c} \frac{\partial \Phi}{\partial t} \frac{B_{03}^2}{G'} \right] = & \quad (3.4) \\ = -\frac{2}{3} \rho h^3 \frac{\partial^3 w}{\partial x_1 \partial t^2} + \frac{4}{15} \frac{\rho h^5}{G'} \frac{\partial^2 \Phi}{\partial t^2} \\ \frac{\partial M_2}{\partial x_2} + \frac{\partial H}{\partial x_1} - N_2 + \frac{\sigma}{c} \left[\frac{2}{3} \frac{h^3}{c} \frac{\partial^2 w}{\partial x_2 \partial t} B_{03}^2 - \frac{4}{15} \frac{h^5}{c} \frac{\partial \Psi}{\partial t} \frac{B_{03}^2}{G'} \right] = & \\ = -\frac{2}{3} \rho h^3 \frac{\partial^3 w}{\partial x_2 \partial t^2} + \frac{4}{15} \frac{\rho h^5}{G'} \frac{\partial^2 \Psi}{\partial t^2} \end{aligned}$$

где, как и следовало ожидать, члены, представляющие новый тип взаимодействия, в явном виде имеются лишь в последних двух уравнениях, которые описывают изгибающие явления в пластинке. Что же касается плоской задачи, т. е. первых двух уравнений движения, то здесь имеются взаимодействия классического типа.

Для внутренних сил и моментов, согласно (3.1) и (3.2), получим обычные представления [3]:

$$\begin{aligned} T_1 &= \frac{2Eh}{1-v^2} \left(\frac{\partial u}{\partial x_1} + v \frac{\partial v}{\partial x_2} \right), \quad T_2 = \dots \\ S &= \frac{Eh}{1+v} \left(\frac{\partial u}{\partial x_2} + \frac{\partial v}{\partial x_1} \right), \quad N_1 = \frac{2h^3}{3} \Phi \\ H &= -\frac{2Eh^3}{3(1+v)} \frac{\partial^2 w}{\partial x_1 \partial x_2} + \frac{2Eh^5}{15G'(1+v)} \left(\frac{\partial \Phi}{\partial x_2} + \frac{\partial \Psi}{\partial x_1} \right) \\ M_1 &= -\frac{2Eh^3}{3(1-v^2)} \left(\frac{\partial^2 w}{\partial x_1^2} + v \frac{\partial^2 w}{\partial x_2^2} \right) + \frac{4Eh^5}{15G'(1-v^2)} \left(\frac{\partial \Phi}{\partial x_1} + v \frac{\partial \Psi}{\partial x_2} \right) \\ M_2 &= \dots, \quad N_2 = \dots \end{aligned} \quad (3.5)$$

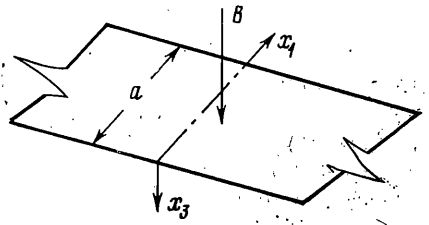
Подставляя значения внутренних сил и моментов из (3.5) в уравнения (3.4), получим следующие уравнения движения пластинки

$$\begin{aligned} \frac{2Eh}{1-v^2} \left(\frac{\partial^2 u}{\partial x_1^2} + \frac{1+v}{2} \frac{\partial^2 v}{\partial x_1 \partial x_2} + \frac{1-v}{2} \frac{\partial^2 u}{\partial x_2^2} \right) + \\ + \frac{2\sigma h}{c} \left(\psi B_{03} - \frac{1}{c} \frac{\partial u}{\partial t} B_{03}^2 \right) = 2\rho h \frac{\partial^2 u}{\partial t^2} \\ \frac{2Eh}{1-v^2} \left(\frac{\partial^2 v}{\partial x_2^2} + \frac{1+v}{2} \frac{\partial^2 u}{\partial x_1 \partial x_2} + \frac{1-v}{2} \frac{\partial^2 v}{\partial x_1^2} \right) - \\ - \frac{2\sigma h}{c} \left(\varphi B_{03} + \frac{1}{c} \frac{\partial v}{\partial t} B_{03}^2 \right) = 2\rho h \frac{\partial^2 v}{\partial t^2} \\ \frac{2h^3}{3} \left(\frac{\partial \Phi}{\partial x_1} + \frac{\partial \Psi}{\partial x_2} \right) = 2\rho h \frac{\partial^2 w}{\partial t^2} \\ \frac{2Eh^3}{3(1-v^2)} \left(\frac{\partial^3 w}{\partial x_1^3} + \frac{\partial^3 w}{\partial x_1 \partial x_2^2} \right) - \frac{4Eh^5}{15G'(1-v^2)} \left(\frac{\partial^2 \Phi}{\partial x_1^2} + \right. \\ \left. + \frac{1-v}{2} \frac{\partial^2 \Phi}{\partial x_2^2} + \frac{1+v}{2} \frac{\partial^2 \Psi}{\partial x_1 \partial x_2} \right) + \frac{2h^3}{3} \Phi - \frac{\sigma}{c} \left(\frac{2h^3}{3c} \frac{\partial^2 w}{\partial x_1 \partial t} - \right. \end{aligned}$$

$$\begin{aligned}
 & -\frac{4h^5}{15cG'} \frac{\partial \Phi}{\partial t} \Big) B_{03}^2 = \frac{2ph^3}{3} \frac{\partial^3 w}{\partial x_1 \partial t} - \frac{4\rho h^5}{15G'} \frac{\partial^2 \Phi}{\partial t^2} \\
 & \frac{2Eh^3}{3(1-v^2)} \left(\frac{\partial^3 w}{\partial x_2^3} + \frac{\partial^3 w}{\partial x_2 \partial x_1^2} \right) - \frac{4Eh^5}{15G'(1-v^2)} \left(\frac{\partial^2 \Psi}{\partial x_2^2} + \right. \\
 & \left. + \frac{1-v}{2} \frac{\partial^2 \Psi}{\partial x_1^2} + \frac{1+v}{2} \frac{\partial^2 \Phi}{\partial x_1 \partial x_2} \right) + \frac{2h^3}{3} \Psi - \frac{\sigma}{c} \left(\frac{2h^3}{3c} \frac{\partial^2 w}{\partial x_2 \partial t} - \right. \\
 & \left. - \frac{4h^5}{15cG'} \frac{\partial \Psi}{\partial t} \right) B_{03}^2 = \frac{2ph^3}{3} \frac{\partial^3 w}{\partial x_2 \partial t^2} - \frac{4\rho h^5}{15G'} \frac{\partial^2 \Psi}{\partial t^2}
 \end{aligned} \quad (3.6)$$

К системе (3.6) должны быть присоединены осредненные по толщине пластинки уравнения электродинамики. Интегрируя первые два уравнения (2.4) по x_3 в пределах $x_3=-h$ до $x_3=h$ с учетом условий на плоскостях (2.5) и присоединяя к ним четвертое уравнение (2.4), окончательно получим

$$\begin{aligned}
 \frac{\partial \Psi}{\partial x_1} - \frac{\partial \Phi}{\partial x_2} + \frac{1}{c} \frac{\partial f}{\partial t} &= 0 \\
 \frac{\partial f}{\partial x_1} + \frac{4\pi\sigma}{c} \left(\Psi - \frac{1}{c} \frac{\partial u}{\partial t} B_{03} \right) &= \frac{h_1^+ - h_1^-}{2h} \\
 \frac{\partial f}{\partial x_2} - \frac{4\pi\sigma}{c} \left(\Phi + \frac{1}{c} \frac{\partial v}{\partial t} B_{03} \right) &= \frac{h_2^+ - h_2^-}{2h}
 \end{aligned}$$



Фиг. 2

Таким образом получим полную систему уравнений магнитоупругости упругих тонких пластин конечной электропроводности. Очевидно, в общем случае эти уравнения должны быть рассмотрены совместно с уравнениями электродинамики во внешней области.

Полученная полная система дифференциальных уравнений позволяет исследовать волновые процессы в пластинке в магнитном поле, вектор интенсивности которого нормален к срединной плоскости пластины. Однако в этой работе, опуская волновые процессы, ограничимся обсуждением пластины с учетом поперечных сдвигов и соответствующих электромагнитных взаимодействий нового типа.

4. Рассмотрим задачу поперечных колебаний свободно опертой по краям, бесконечно длинной трансверсально-изотропной пластины (полосы шириной a) в поперечном магнитном поле с интенсивностью $B_{03}=B=\text{const}$ (фиг. 2).

Из системы уравнений (3.6) для данного случая легко получить следующие исходные уравнения:

$$\begin{aligned}
 \frac{2h^3}{3} \frac{\partial \Phi}{\partial x_1} &= 2\rho h \frac{\partial^2 w}{\partial t^2} \\
 \frac{2Eh^3}{3(1-v^2)} \frac{\partial^3 w}{\partial x_1^3} - \frac{4Eh^5}{15G'(1-v^2)} \frac{\partial^2 \Phi}{\partial x_1^2} + \frac{2h^3}{3} \Phi - \\
 & - \frac{\sigma}{c} \left[\frac{2h^3}{3c} B^2 \frac{\partial^2 w}{\partial x_1 \partial t} - \frac{4h^5 B^2}{15cG'} \frac{\partial \Phi}{\partial t} \right] = \\
 & = \frac{2ph^3}{3} \frac{\partial^3 w}{\partial x_1 \partial t^2} - \frac{4\rho h^5}{15G'} \frac{\partial^2 \Phi}{\partial t^2}
 \end{aligned} \quad (4.1)$$

Рассматривая второе уравнение системы (4.1), замечаем, что здесь магнитоупругое взаимодействие представлено двумя членами

$$\frac{2\sigma h^3}{3c^2} B^2 \frac{\partial^2 w}{\partial x_1 \partial t}, \quad \frac{4\sigma h^5}{15c^2} \frac{B^2}{G'} \frac{\partial \Phi}{\partial t}$$

Первый член описывает классическое взаимодействие [2], второй член — новый тип взаимодействия и содержит упругую постоянную пластиинки G' в явном виде.

Полагая $G'=\infty$, получим соответствующие исходные уравнения теории, построенной на основании гипотезы недеформируемых нормалей. Принимая гипотезу недеформируемых нормалей, в исходных уравнениях (3.6) или (4.1) теряются члены, описывающие взаимодействия нового типа. По существу гипотеза недеформируемых нормалей безразлична к величине отношения B^2/G' и при больших значениях ее может дать существенные погрешности.

Решения системы (4.1) представим в виде

$$w = A_1 e^{\Omega t} \sin \lambda_m x_1, \quad \Phi = A_2 e^{\Omega t} \cos \lambda_m x_1, \quad \lambda_m = m\pi/a \quad (4.2)$$

удовлетворяя граничным условиям свободного опирания по краям $x_1=0$, $x_1=a$.

Подставляя значения w и Φ из (4.2) в систему уравнений (4.1) и приравнивая определитель из коэффициентов A_i нулю, для определения Ω получим следующее характеристическое уравнение четвертой степени:

$$\frac{2\rho h^2 \omega_0^2}{5G'} \Omega^4 + \frac{12\rho w_0^2}{5G' \lambda_m^2} \beta \Omega^3 + \left[\frac{2Eh^2 \lambda_m^2}{5G'(1-v^2)} + \frac{h^2 \lambda_m^2}{3} + 1 \right] \Omega^2 + 2\beta \Omega + 1 = 0$$

$$\Omega^2 = \frac{\Omega}{\omega_0}, \quad \omega_0^2 = \frac{Eh^2}{3\rho(1-v^2)} \lambda_m^4, \quad \beta = \frac{\sigma}{c} \frac{h^2 \lambda_m^2 B^2}{6c\rho \omega_0}, \quad \lambda_m = \frac{m\pi}{a}$$

где ω_0 — собственная частота колебания пластиинки в отсутствие магнитного поля, β — коэффициент, характеризующий интенсивность влияния магнитного поля, m — целое число.

Пренебрегая инерцией вращения (последний член второго уравнения системы (4.1)), характеристическое уравнение (4.3) запишем в виде

$$\frac{12\rho \omega_0^2}{5C' \lambda_m^2} \beta \Omega^3 + \left[\frac{2Eh^2 \lambda_m^2}{5G'(1-v^2)} + \frac{h^2 \lambda_m^2}{3} + 1 \right] \Omega^2 + 2\beta \Omega + 1 = 0 \quad (4.3)$$

Далее, в частном случае, если перейти к гипотезе недеформируемых нормалей, характеристическое уравнение запишется следующим образом

$$(1 + \frac{1}{3} h^2 \lambda_m^2) \Omega_0^2 + 2\beta \Omega_0 + 1 = 0 \quad (4.4)$$

Рассмотрим численные примеры. Пусть $E/G'(1-v^2)=4.0$, $m=1$; для относительной толщины имеем следующие три значения $h/a=0.01, 0.02, 0.1$.

Значения действительных $\text{Re } \Omega_j$ и мнимых $\text{Im } \Omega_j$ частей корней Ω_j ($j=1, 2, 3$) характеристического уравнения (4.3) в зависимости от некоторых значений параметра β для всех трех рассматриваемых случаев приводятся в табл. 1. Параметр $h^*= \pi^2 Eh^2 / [5a^2 G'(1-v^2)]$ для этих случаев будет равен $7.9 \cdot 10^{-4}$, $3.2 \cdot 10^{-3}$, $7.9 \cdot 10^{-2}$.

Значения корней характеристического уравнения (4.4) представлены в табл. 2. Так как характер изменения этих корней во всех трех случаях одинаков, в таблице приводятся корни лишь для первого случая ($h/a=1/100$, $h^*=0$).

Для наглядности на фиг. 3–6 представлены графики зависимости относительного коэффициента затухания $(\text{Re } \Omega)^2$ и относительной частоты колебаний $(\text{Im } \Omega)^2$ от параметра β для всех приведенных случаев.

На фиг. 3 кривые 1, 2 соответствуют $\text{Re } \Omega_{01}^2$ и $\text{Re } \Omega_{02}^2$, а кривая 3 соответствует $\text{Im } \Omega_{01}^2$ и $\text{Im } \Omega_{02}^2$. Поведение характеристических корней для уравнения (4.4)

С. А. Амбарцумян

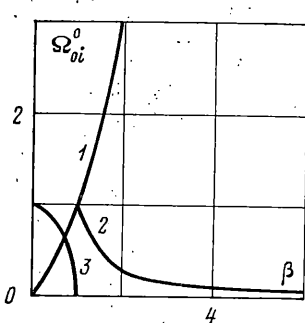
Таблица 1

β	Re ₁			Re ₂			Im ₂			Re ₃			Im ₃		
	—	—	—	0.0	0.0	0.0	0.999	0.996	0.913	0.0	0.0	0.0	—0.999	—0.996	—0.913
0.0	—	—	—	—	—	—	—	—	—	—	—	—	—	—	—
0.2	-4565	-398	-48.5	-0.499	-0.497	-0.446	0.979	0.977	0.908	-0.199	-0.197	-0.146	-0.979	-0.977	-0.908
0.4	-782	-198	-8.76	-0.399	-0.396	-0.306	0.916	0.916	0.893	-0.399	-0.396	-0.306	-0.916	-0.916	-0.893
0.6	-520	-134	-5.25	-0.599	-0.597	-0.504	0.804	0.803	0.861	-0.599	-0.597	-0.501	-0.801	-0.803	-0.861
0.8	-390	-98.4	-3.06	-0.800	-0.802	-0.812	0.604	0.605	0.785	-0.800	-0.802	-0.812	-0.604	-0.605	-0.785
1.0	-344	-77.7	-0.806	-1.04	-1.08	-1.47	0.0	0.0	1.31	-0.968	-0.939	-1.47	0.0	0.0	-1.31
2.0	-153	-35.4	-0.269	-3.82	-4.17	-0.803	0.0	0.0	2.28	-0.268	-0.268	-0.803	0.0	0.0	-2.28
4.0	-69.3	-0.127	-0.127	-8.88	-9.91	-0.405	0.0	7.59	2.45	-0.127	-9.91	-0.405	0.0	-7.59	-2.45
6.0	-48.4	-0.084	-0.084	-33.7	-6.64	-0.274	0.0	10.7	2.48	-0.084	-6.64	-0.274	0.0	-10.7	-2.48
8.0	-0.063	-0.063	-0.063	-49.5	-4.95	-0.203	15.5	14.5	2.49	-19.5	-4.95	-0.203	-45.5	-44.5	-2.49
10.0	-0.050	-0.050	-0.050	-45.6	-3.96	-0.162	19.5	11.9	2.49	-45.6	-3.96	-0.162	-49.5	-41.9	-2.49

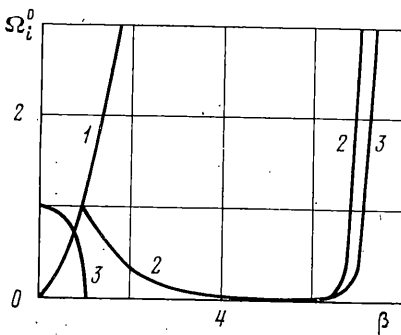
показано на фиг. 4–6; кривые 1, 2 соответствуют $\operatorname{Re} \Omega_2^0$ и $\operatorname{Re} \Omega_3^0$, а кривая 3 характеризует изменение $\operatorname{Im} \Omega_2^0$ и $\operatorname{Im} \Omega_3^0$.

На графиках и в таблицах видно, что учет поперечных сдвигов, и тем самым нового типа взаимодействия, приводят к качественно новым типам колебаний в зависимости от напряженности магнитного поля.

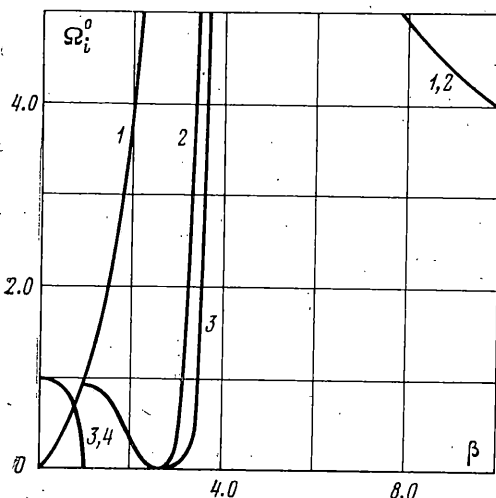
На графике (фиг. 3) и из табл. 2 видно, что в классическом случае (теория, построенная на основании гипотезы недеформируемых нормалей) с увеличением интенсивности магнитного поля частота колебаний уменьшается и достигает нулевого значения при определенном значении параметра β ($\beta \approx 1$). При дальнейшем уве-



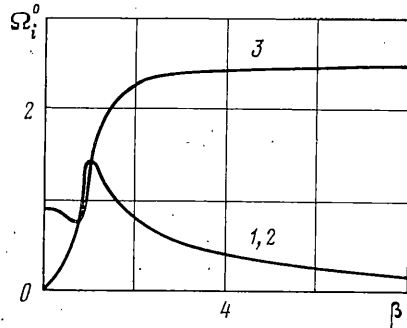
Фиг. 3



Фиг. 4



Фиг. 5



Фиг. 6

личении β происходит затухание возмущения без колебания. При этом каждое решение уравнения (4.1), соответствующее Ω_{0i}^0 , в целом имеет свой коэффициент затухания, за исключением начального участка ($0 \leq \beta \leq 1$), где коэффициенты затухания решений совпадают и имеют место колебание с затуханием.

Отметим, что новый тип взаимодействия, появившийся в результате учета явлений поперечного сдвига, существенно меняет картину колебания (фиг. 4–6, табл. 1).

Во всех трех случаях решения системы (4.1), соответствующие первым корням Ω_i^0 , представляют собой затухание без колебания.

При малом влиянии учета поперечного сдвига (при малом значении приведенной относительной толщины пластинки $h^* = 7.9 \cdot 10^{-4}$) картина колебаний вначале напоминает классическую форму, т. е. до определенного значения β ($\beta \approx 1$) частота колебаний с затуханием с увеличением интенсивности магнитного поля уменьшается, достигая нуля. Далее следует участок ($1 \leq \beta \leq 6$), где возмущения затухают без колебания и каждое решение уравнений (4.1) имеет свой коэффициент затухания. При дальнейшем увеличении β ($\beta > 6$) появляется новый колебательный процесс с

Таблица 2

β	Re_{01}	Im_{01}	Re_{02}	Im_{02}
0.0	0.0	0.9999	0.0	-0.9999
0.2	-0.1999	0.9797	-0.1999	-0.9797
0.4	-0.3999	0.9164	-0.3999	-0.9164
0.6	-0.5998	0.7999	-0.5998	-0.7999
0.8	-0.7998	0.6001	-0.7998	-0.6001
1.0	-0.9997	0.0173	-0.9997	-0.0173
2.0	-3.731	0.0	-0.2679	0.0
4.0	-7.871	0.0	-0.1270	0.0
6.0	-11.91	0.0	-0.0839	0.0

существенно высокой частотой и с одинаковыми коэффициентами затухания, имеющими тенденцию к уменьшению с увеличением интенсивности магнитного поля, т. е. β (фиг. 4).

При дальнейшем увеличении сдвиговых явлений ($h^*=3.2 \cdot 10^{-3}$) картина колебаний остается такой же, как и в предыдущем случае. Однако существенным образом сокращается участок, где возмущения затухают без колебания ($1 \leq \beta \leq 3$) (фиг. 5).

Дальнейшее увеличение влияния явлений попечечных сдвигов ($h^*=7.9 \cdot 10^{-2}$) совершенно изменяет картину колебаний в зависимости от β . Здесь участок затухания возмущений без колебания совершенно исчезает (точки $\beta=1$ и $\beta=6$ или $\beta=3$ предыдущих случаев, как бы сближаясь, сливаются). Во всем промежутке изменения β имеют место колебания с затуханием, причем, как и следовало ожидать, оба решения системы (4.1) для каждого β имеют одинаковые коэффициенты затухания. Частоты колебаний, в начале изменения β ($0 \leq \beta \leq 1$) имеют тенденцию к уменьшению, а в дальнейшем увеличиваются с увеличением β , т. е. с увеличением интенсивности магнитного поля (фиг. 6).

Поступила 10 VII 1978

ЛИТЕРАТУРА

- Ландау Л. Д., Либшиц Е. М. Электродинамика сплошных сред. М., Гостехиздат, 1957.
- Амбарцумян С. А., Багдасарян Г. Е., Белубекян М. В. Магнитоупругость тонких оболочек и пластин. М., «Наука», 1977.
- Амбарцумян С. А. Теория анизотропных пластин. М., «Наука», 1967.